

Национальный транспортный университет, Киев, Украина

## **ДИНАМИЧЕСКОЕ ПОВЕДЕНИЕ ДИСКРЕТНО ПОДКРЕПЛЕННЫХ ЦИЛИНДРИЧЕСКИХ ОБОЛОЧЕК НА УПРУГОМ ОСНОВАНИИ ПРИ НЕСТАЦИОНАРНОЙ НАГРУЗКЕ**

**Введение.** Как показывает литературный обзор по теме исследования, в этом направлении следует отметить работы по динамическому поведению подкрепленных цилиндрических, сферических и конических оболочек на упругом основании Винклера при нестационарных нагрузках (случай осесимметричных колебаний) [4-8]. В этих работах исследовано влияние упругого основания на напряженно – деформированное состояние подкрепленных оболочек при нестационарных колебаниях. Практически отсутствуют исследования для случая неосесимметричных колебаний подкрепленных оболочек на упругом основании. Ниже приведен случай задачи о неосесимметричных колебаниях дискретно подкрепленных цилиндрических оболочек на упругом основании Винклера при нестационарных нагрузках.

Цель работы заключается в исследовании напряженно – деформированного состояния дискретно подкрепленных оболочек на упругом основании при нестационарных нагрузках.

**Постановка задачи.** При рассмотрении взаимодействия упругих конструкций с окружающей средой существует два основных подхода постановки и решения указанных задач: моделирование окружающей среды согласно трехмерных уравнений механики сплошных сред и моделирование окружающей среды некоторыми интегральными кинематическими и силовыми параметрами, действующими на упругую конструкцию (упругие основания типа Винклера, Пастернака) [1, 2]. Решение задач согласно первого подхода связано со значительными алгоритмическими и вычислительными трудностями [3]. Согласно второго подхода действие окружающей среды заменяется упругим основанием, что в свою очередь приводит к упрощению постановки и решения исходных задач [2, 4]. В данной работе рассмотрена задача о вынужденных колебаниях цилиндрической дискретно подкрепленной оболочки на упругом основании Винклера при распределенной нагрузке.

Уравнения колебаний дискретно подкрепленной цилиндрической оболочки на упругом основании представлены согласно работы [4]. Исходные уравнения представляют собой систему нелинейных дифференциальных уравнений в частных производных по переменным  $x, y, t$  при наличии пространственных разрывов по координатам  $x$  и  $y$ . Пространственными разрывами являются линии проецирования центров масс поперечного сечения дискретных ребер на срединную поверхность

циліндрической оболочке  $i$  – го ребра по координате  $x$  и  $j$  – го ребра по координате  $y$ .

Исходя из этого, исходную систему уравнений представим следующим образом:

✓ уравнения в гладкой области

$$\begin{aligned} \frac{\partial T_{11}}{\partial x} + \frac{\partial S}{\partial y} + P_1 &= \rho h \frac{\partial^2 u_1}{\partial t^2}, \\ \frac{\partial S}{\partial x} + \frac{\partial T_{22}}{\partial y} + \frac{\bar{T}_{23}}{R} + P_2 &= \rho h \frac{\partial^2 u_2}{\partial t^2}, \quad \frac{\partial \bar{T}_{13}}{\partial x} + \frac{\partial \bar{T}_{23}}{\partial y} - \frac{T_{22}}{R} - C_1 u_3 + P_3 = \rho h \frac{\partial^2 u_3}{\partial t^2}, \\ \frac{\partial M_{11}}{\partial x} + \frac{\partial H}{\partial y} - T_{13} &= \rho \frac{h^3}{12} \frac{\partial^2 \varphi_1}{\partial t^2}, \quad \frac{\partial H}{\partial x} + \frac{\partial M_{22}}{\partial y} - T_{23} = \rho \frac{h^3}{12} \frac{\partial^2 \varphi_2}{\partial t^2}; \\ \bar{T}_{13} &= T_{13} + T_{11} \theta_1 + S \theta_2, \quad \bar{T}_{23} = T_{23} + T_{22} \theta_2 + S \theta_1; \end{aligned} \quad (1)$$

✓ уравнения на  $i$  – й линии разрыва вдоль оси  $OX$

$$\begin{aligned} \frac{\partial T_{11i}}{\partial x} + [S] &= \rho_i F_i \left( \frac{\partial^2 u_1}{\partial t^2} \pm h_{ci} \frac{\partial^2 \varphi_1}{\partial t^2} \right), \\ \frac{\partial \bar{T}_{12i}}{\partial x} + [T_{22}] &= \rho_i F_i \left( \frac{\partial^2 u_2}{\partial t^2} \pm h_{ci} \frac{\partial^2 \varphi_2}{\partial t^2} \right), \quad \frac{\partial \bar{T}_{13i}}{\partial x} + [\bar{T}_{23}] = \rho_i F_i \frac{\partial^2 u_3}{\partial t^2}, \\ \frac{\partial M_{11i}}{\partial x} \pm h_{ci} \frac{\partial T_{11i}}{\partial x} - T_{13i} + [H] &= \rho_i F_i \left[ \pm h_{ci} \frac{\partial^2 u_1}{\partial t^2} + \left( h_{ci}^2 + \frac{I_{1i}}{F_i} \right) \frac{\partial^2 \varphi_1}{\partial t^2} \right], \\ \frac{\partial M_{12i}}{\partial x} \pm h_{ci} \frac{\partial \bar{T}_{12i}}{\partial x} + [M_{22}] &= \rho_i F_i \left[ \pm h_{ci} \frac{\partial^2 u_2}{\partial t^2} + \left( h_{ci}^2 + \frac{I_{kri}}{F_i} \right) \frac{\partial^2 \varphi_2}{\partial t^2} \right], \\ \bar{T}_{13i} &= T_{13i} + T_{11i} \theta_{1i}, \quad \bar{T}_{12i} = T_{12i} + T_{11i} \theta_{2i}, \end{aligned} \quad (2)$$

✓ уравнения на  $j$  – й линии разрыва вдоль оси  $OY$

$$\begin{aligned} \frac{\partial \bar{T}_{21j}}{\partial y} + [T_{11}] &= \rho_j F_j \left( \frac{\partial^2 u_1}{\partial t^2} \pm h_{cj} \frac{\partial^2 \varphi_1}{\partial t^2} \right), \\ \frac{\partial T_{22j}}{\partial y} + \frac{T_{23j}}{R_j} + [S] &= \rho_j F_j \left( \frac{\partial^2 u_2}{\partial t^2} \pm h_{cj} \frac{\partial^2 \varphi_2}{\partial t^2} \right), \quad \frac{\partial \bar{T}_{23j}}{\partial y} - \frac{T_{22j}}{R_j} + [T_{13}] = \rho_j F_j \frac{\partial^2 u_3}{\partial t^2}, \\ \frac{\partial M_{21j}}{\partial y} \pm h_{cj} \frac{\partial \bar{T}_{21j}}{\partial y} + [M_{11}] &= \rho_j F_j \left[ \pm h_{cj} \frac{\partial^2 u_1}{\partial t^2} + \left( h_{cj}^2 + \frac{I_{krj}}{F_j} \right) \frac{\partial^2 \varphi_1}{\partial t^2} \right], \\ \frac{\partial M_{22j}}{\partial y} \pm h_{cj} \frac{\partial T_{22j}}{\partial y} - T_{23j} + [H] &= \rho_j F_j \left[ \pm h_{cj} \frac{\partial^2 u_2}{\partial t^2} + \left( h_{cj}^2 + \frac{I_{2j}}{F_j} \right) \frac{\partial^2 \varphi_2}{\partial t^2} \right], \\ \bar{T}_{23j} &= T_{23j} + T_{22j} \theta_{2j}, \quad \bar{T}_{21j} = T_{21j} + T_{22j} \theta_{1j}. \end{aligned} \quad (3)$$

В уравнениях (2), (3) величины в квадратных скобках являются усилиями – моментами гладкой оболочки, действующими на соответствующий дискретный  $i$  – й (или  $j$ –й) подкрепляющий элемент, расположенный вдоль оси ОХ (соответственно оси ОУ) –  $[\Phi]_i = \Phi_i^+ - \Phi_i^-$ ,  $[\Phi]_j = \Phi_j^+ - \Phi_j^-$ .

Связь между усилиями–моментами и соответствующими величинами деформаций имеет вид

$$\begin{aligned} T_{11} &= B_{11}(\varepsilon_{11} + \nu_{21}\varepsilon_{22}), & T_{22} &= B_{22}(\varepsilon_{22} + \nu_{12}\varepsilon_{11}), & (4) \\ S &= B_{12}\varepsilon_{12}, & T_{13} &= B_{13}\varepsilon_{13}, & T_{23} &= B_{23}\varepsilon_{23}, \\ M_{11} &= D_{11}(\kappa_{11} + \nu_{21}\kappa_{22}), & M_{22} &= D_{22}(\kappa_{22} + \nu_{12}\kappa_{11}), & H &= D_{12}\kappa_{12}, \end{aligned}$$

где

$$\begin{aligned} B_{11} &= \frac{E_1 h}{1 - \nu_{12}\nu_{21}}, & B_{22} &= \frac{E_2 h}{1 - \nu_{12}\nu_{21}}, & B_{12} &= G_{12}h, & B_{13} &= G_{13}hk^2, & B_{23} &= G_{23}hk^2, \\ D_{11} &= \frac{E_1 h^3}{12(1 - \nu_{12}\nu_{21})}, & D_{22} &= \frac{E_2 h^3}{12(1 - \nu_{12}\nu_{21})}, & B_{12} &= G_{12} \frac{h^3}{12}, \end{aligned}$$

Соотношения, связывающие величины деформаций с компонентами обобщенного вектора перемещений имеют вид

$$\begin{aligned} \varepsilon_{11} &= \frac{\partial u_1}{\partial x} + \frac{1}{2}\theta_1^2, & \varepsilon_{22} &= \frac{\partial u_2}{\partial y} + \frac{1}{2}\theta_2^2 + \frac{u_3}{R}, & (5) \\ \varepsilon_{12} &= \frac{\partial u_2}{\partial x} + \frac{\partial u_1}{\partial y} + \theta_1 \theta_2, & \varepsilon_{13} &= \frac{\partial u_3}{\partial x} + \varphi_1, & \varepsilon_{23} &= \frac{\partial u_3}{\partial y} + \varphi_2 - \frac{u_2}{R}, & \kappa_{11} &= \frac{\partial \varphi_1}{\partial x}, \\ \kappa_{22} &= \frac{\partial \varphi_2}{\partial y}, & \kappa_{12} &= \frac{\partial \varphi_2}{\partial x} + \frac{\partial \varphi_1}{\partial y}, & \theta_1 &= \frac{\partial u_3}{\partial x}, & \theta_2 &= \frac{\partial u_3}{\partial y} - \frac{u_2}{R}. \end{aligned}$$

Соотношения между усилиями – моментами и соответствующими деформациями  $i$ – го дискретного ребра расположенного вдоль оси ОХ имеют вид

$$\begin{aligned} T_{11i} &= E_i F_i \varepsilon_{11i}, & T_{12i} &= G_i F_i \varepsilon_{12i}, & (6) \\ T_{13i} &= G_i F_i k_i^2 \varepsilon_{13i}, & M_{11i} &= E_i I_{1i} \kappa_{11i}, & M_{12i} &= G_i I_{kri} \kappa_{12i}, \end{aligned}$$

где

$$\begin{aligned} \varepsilon_{11i} &= \frac{\partial u_1}{\partial x} \pm h_{ci} \frac{\partial \varphi_1}{\partial x} + \frac{1}{2}\theta_{1i}^2 + \frac{1}{2}\theta_{2i}^2, & (7) \\ \varepsilon_{12i} &= \theta_{2i}, & \varepsilon_{13i} &= \varphi_1 + \theta_{1i}, & \theta_{2i} &= \frac{\partial u_2}{\partial x} \pm h_{ci} \frac{\partial \varphi_2}{\partial x}, & \theta_{1i} &= \frac{\partial u_3}{\partial x}, & \kappa_{11i} &= \frac{\partial \varphi_1}{\partial x}, & \kappa_{12i} &= \frac{\partial \varphi_2}{\partial x}, \end{aligned}$$

$k^2, k_i^2$  – коэффициенты поперечного сдвига в теории оболочек и стержней Тимошенко.

Соответствующие соотношения для усилий – моментов и соответствующих деформаций в случае  $j$ –го дискретного ребра расположенного вдоль оси ОУ записываются согласно [4].

Уравнения колебаний (1) – (7) дополняются соответствующими граничными и начальными условиями.

Численный алгоритм решения уравнений (1)–(7) основывается на использовании интегро – интерполяционного методу построения разностных схем для исходных уравнений по пространственным координатам  $x$ ,  $y$  и явной конечно – разностной схеме по временной координате  $t$  [4, 9, 10].

**Численные результаты.** Как численный пример, рассматривалась задача динамического поведения дискретно подкрепленной ребрами цилиндрической оболочки на упругом основании под действием распределенной внутренней импульсной нагрузки. Полагается, что торцы оболочки при  $x=0, x=L$  жестко защемлены. Начальные условия для кинематических величин – нулевые. Поперечные ребра расположены в сечениях  $s_{1i} = 0,25Li; i = \overline{1, 3}$ . Продольные ребра расположены в сечениях  $s_{2j} = \pi R(j-1)/2; j = \overline{1, 4}$  (оболочка подкреплена тремя поперечными ребрами и четырьмя продольными). Распределенная импульсная нагрузка  $P_3(s_1, s_2, t)$  задавалась следующим образом  $P_3(s_1, s_2, t) = A \cdot \sin \frac{\pi t}{T} [\eta(t) - \eta(t-T)]$ , где  $A$  – амплитуда нагрузки,  $T$  – длительность нагрузки. В расчетах полагалось:  $A = 10^6$  Па;  $T = 50 \cdot 10^{-6}$  с.

Задача решалась при следующих геометрических и физико – механических параметрах:  $E_1 = E_2 = 7 \cdot 10^{10}$  Па;  $\nu_1 = \nu_2 = 0,3$ ;  $h = 10^{-2}$  м;  $L = 0,4$  м. Для подкрепляющего ребра полагалось:  $E_i = E_j = E; F_i = F_j = a_j h_j; a_i = a_j = h; h_i = h_j = 2h$ . Расчеты проводились для трех следующих значений коэффициента упругого основания Винклера: 1)  $C_1 = 1 \cdot 10^9$  Н/м<sup>3</sup>; 2)  $C_1 = 2 \cdot 10^9$  Н/м<sup>3</sup>; 3)  $C_1 = 3 \cdot 10^9$  Н/м<sup>3</sup>.

Численные расчеты данной задачи были проведены на временном интервале

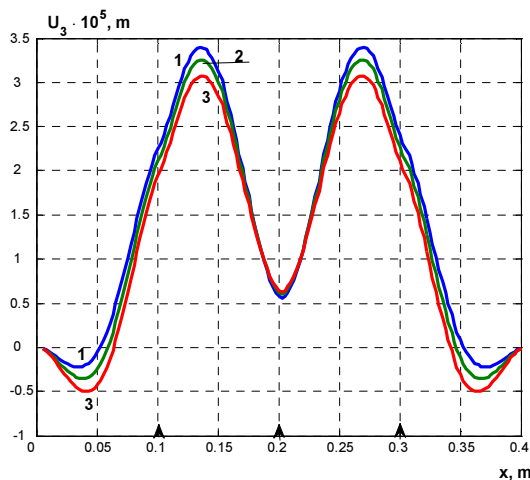


Рисунок 1

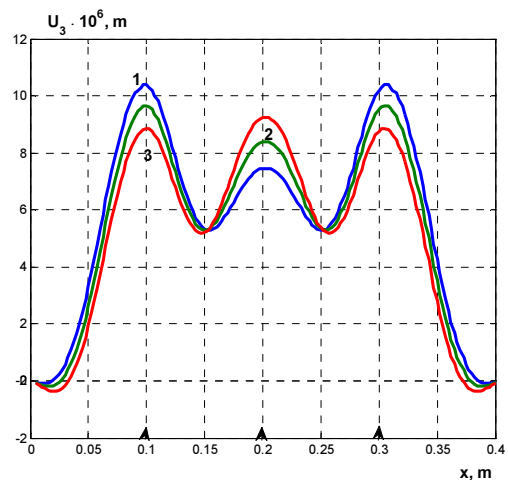


Рисунок 2

$0 < t \leq 40T$ . На рис. 1, рис. 2 приведенные зависимости прогиба  $u_3$  по длине конструкции.

Рис. 1 соответствует зависимости прогиба  $u_3$  от пространственной координаты  $x$  в сечении  $y = \pi R / 4$  (сечение между ребрами) в момент времени  $t = 8,5T$  (время достижения максимального значения  $u_3$  для случая  $C_1 = 1 \cdot 10^9 \text{ Н/м}^3$ ). Кривая 1 соответствует случаю расчетов при  $C_1 = 1 \cdot 10^9 \text{ Н/м}^3$ ; кривая 2 –  $C_1 = 2 \cdot 10^9 \text{ Н/м}^3$ ; кривая 3 –  $C_1 = 3 \cdot 10^9 \text{ Н/м}^3$ . На рис. 2 приведены соответствующие зависимости в тот же момент времени в сечении  $y = 0$ . Согласно представленного графического материала наблюдается явная зависимость величины прогиба от значений коэффициентов Винклера, от места расположения подкрепляющих ребер.

**Выводы.** Рассмотрена задача о вынужденных колебаниях цилиндрической дискретно подкрепленной оболочки на упругом основании при распределенной нагрузке. Динамическое поведение неоднородной цилиндрической оболочки рассматривается в рамках теории оболочек и стержней типа Тимошенко. Для решения поставленной задачи используется метод конечных разностей по пространственным и временной координатам. Приведены численные результаты решения задач, позволяющие проводить детальный анализ влияния упругого основания Винклера на напряженно – деформированное состояние исходной неоднородной оболочки.

#### ЛИТЕРАТУРА

1. Вестяк А.В. Нестационарные взаимодействия деформируемых тел с окружающей средой / А.В. Вестяк, А.Г. Горшков, Д.В. Тарлаковский // Итоги науки и техн.: Мех. деф. тверд, тела. Т. 15. -М.: ВИНТИ, 1983. - С. 69-148.20.
2. Перельмутер А.В. Расчетные модели сооружений и возможности их анализа. / А.В. Перельмутер, В.И. Сливкер – Киев: Сталь, 2000. – 600с.
3. Гузь А.Н. Методы расчета оболочек, т. 5. – Теория нестационарной аэрогидроупругости оболочек. / А.Н. Гузь, В.Д. Кубенко – Киев: Наук. думка, 1983.– 400 с.
4. Головки К.Г. Динамика неоднородных оболочек при нестационарных нагрузках: монография / К.Г. Головки, П.З. Луговой, В.Ф. Мейш; под ред. акад НАН Украины А.Н. Гузя. – К.: Изд. полигр. центр «Киевский ун–т», 2012. – 541 с.
5. Головки К.Г. О решении осесимметрических задач динамики цилиндрических оболочек на упругом основании / К.Г. Головки, П.З. Луговой, В.Ф. Мейш // Прикл. механика. – 2007. – 43, № 12. – С. 85 –94.

6. Головки К.Г. Динамическое поведение сферических оболочек на упругом основании при импульсных нагрузках / К.Г. Головки, П.З. Луговой, В.Ф. Мейш // Системні технології. Вип.: Математичні проблеми технічної механіки. -№4 (51), 2007. – С.9 -13.
7. Луговой П.З. О решении осесимметричных задач динамики подкрепленных оболочек вращения на упругом основании / П.З. Луговой, В.Ф. Мейш, К.Г. Головки // Прикл. механика. – 2009. – 45, № 2. – С. 99 – 106.
8. Луговой П.З. О решении осесимметричных задач динамики подкрепленных конических оболочек на упругом основании / П.З. Луговой, В.Ф. Мейш, Ю.А. Мейш // Проблеми обчислювальної механіки і міцності конструкцій / Дніпропетровський Національний ун-т. – 2009, вип. 13. – С. 142 – 148.
9. Луговой П.З. Нестационарная динамика неоднородных оболочечных конструкций / П.З. Луговой, В.Ф. Мейш, Э.А. Штанцель. – К: Издательско – полиграфический центр “Киевский университет”, 2005. – 536с.
10. Самарский А.А. Теория разностных схем. / А.А. Самарский – М.: Наука, 1977. – 656 с.

*Поступила в редколлегию 28.02.2013*

УДК 539.3

КОВАЛЕНКО А.П.

Институт механики им. С.П.Тимошенко НАН Украины

### **ПОСТРОЕНИЕ МАТЕМАТИЧЕСКОЙ МОДЕЛИ ИССЛЕДОВАНИЯ ПЕРЕХОДНЫХ ПРОЦЕССОВ В СИСТЕМЕ УПРУГИЙ ТРУБОПРОВОД – ЖИДКОСТЬ ПРИ ПРОДОЛЬНЫХ ДИНАМИЧЕСКИХ УДАРНЫХ НАГРУЖЕНИЯХ**

**Постановка проблемы.** Составляющей частью многих технических устройств являются трубопроводы с жидкостью. При эксплуатации такие устройства зачастую подвержены различного типа динамическим (в том числе и ударным) продольным нагрузкам и одним из актуальных вопросов является исследование переходных процессов в рассматриваемых гидроупругих системах. Для изучения таких процессов необходимо построить механическую и математическую модели; выявить характерные параметры для исследуемой гидроупругой системы; разработать метод решения и исследовать влияние характерных величин на переходные процессы в такой гидроупругой системе.

**Анализ публикаций по теме исследования.** На протяжении последних десятилетий проводятся активные исследования по изучению переходных процессов в гидроупругих системах [1-4]. При этом рассматриваются задачи как в нелинейной так и